

تأثير بعض صفات التربة في ظاهرة الانجراف المائي وماء الانسيال السطحي باستخدام جهاز المطر المصطنع

الأستاذ الدكتور محمد خلدون درمش

قسم علوم التربة واستصلاح الأراضي - كلية الزراعة - جامعة حلب - حلب

الملخص :

أجريت هذه التجربة لتقييم تأثير بعض صفات التربة (قوام التربة، عده مستويات لمحببات التربة) في ماء الانسيال السطحي، وحساسية أتربة مختلفة القوم، تحت تأثير المطر المصطنع.

استخدم مستوىان من الشدة المطرية (47.2 و 80.8) مم/سا، وثلاث مستويات من مجموعات التربة (20-9، 9-2، 0.5-2) مم إضافة إلى ناعم التربة، وخمسة أزمنة (3، 6، 9، 12، 15) دقيقة. وضعت النماذج في حاويات معدنية، ذات أبعاد (14x30x100) سم، صممت لجمع التربة المفقودة وماء الانسيال السطحي، وضفت النماذج في حاويات ذات ميل (6-9-12-15) % وعرضت إلى المطر المصطنع.

بيّنت نتائج الدراسة، أن فقد التربة تأثر بقوام التربة ونوعها، وهذا يعني أن الترب الجيرية والطينية تكون مفقوداتها من التربة المنجرفة، أقل من الترب الأخرى المستعملة في هذه التجربة، كما لوحظ أن فقد التربة وحجم ماء الانسيال السطحي يزداد مع زيادة الطاقة الحركية للمطر، ويزداد فقد بازدياد الشدة المطرية وزاوية الميل، كما لوحظ بصورة عامة، فقد كمية كبيرة من التربة في الدقائق الأولى، نتيجة طاقة المطر، ثم ونتيجة تشكيل القشرة السطحية، يقل فقد التربة بشكل واضح في الأتربة الجيرية، وقد يصبح شبه معدوم في الأتربة الطينية. وبالتالي يمكن استخدام كمية فقد التربة، كدليل واضح لثباتيتها ومقاومتها لفعل المطر الانجرافي.

الكلمات المفتاحية: الانجراف المائي، الانسيال السطحي، جهاز المطر المصطنع، الطاقة الحركية

المقدمة :

ظاهرة الانجراف المائي ظاهرة معقدة جوهرها ماء وترابة لكل منها خصوصياته ظاهرها بسيط لكن تفسيرها صعب وعند. الانجراف المائي هو إحدى العمليات الطبيعية التي تلعب دوراً هاماً في تكوين التربة Afifi et. Al., 1992 Wild, 1993 إن الصفات الفيزيائية والكيميائية للأتربة هي من العوامل التي تحدد معدل الانجراف المائي Sharma and Biswas 1972

إن الطاقة الناتجة عن سقوط قطرات الماء الواقلة إلى سطح التربة، تميل إلى تحطيم مجموعات التربة المتوضعة على السطح مكونة ما يعرف باسم القشرة السطحية Soil surface ceiling (وهذا ما يسمى تأثير قطرة المطر الديناميكي والذي يعمل على تأثير حبيبات التربة الناعمة التي تعمل بدورها على سد المسام وتشكل القشرة الصلبة والتي تؤدي وبالتالي إلى منع دخول الماء وبده الانسياط السطحي) وهذا سيد من حركة الماء والهواء الداخل والخارج والذي بدوره سيد من نمو النبات. كما ويمكن اعتبار هذه الطبقة منشطة للانجراف حيث يمكن بعدها لحببيات التربة أن تنقل بماه الجريان السطحي، وبالتالي يمكن القول أن طريقة الري تؤثر في بعض صفات التربة الفيزيائية حيث أوضح Morgan 2005 أن سقوط قطرات الماء على سطح التربة يؤدي إلى تحطيم مجموعات التربة وندهور بنائها، ومن ثم يؤكد على أن نمط إضافة الماء في نظام الري بالرش أو المطر الصناعي "جهاز المطر الصناعي" يعتمد على قطر فتحة المرش وارتفاعها والمسافة الفاصلة بين المرشات، لتحقيق حالة التجانس، والتحكم بتوزيع الماء.

إن عملية التجفيف البطيء يعيل إلى زيادة صلابة التربة، وبالتالي لتحديد كمية التربة بالانجراف المائي لابد من معرفة كمية ماء الانسياط السطحي، الذي يعتمد على كمية البطل ومدته، ومقدار الميل وطول المنحدر، وبالتالي يكون للوقت اللازم لتجمع الماء الجاري على سطح التربة، أهمية بالغة في تحديد مقدار ماء الانسياط السطحي، وبالتالي كان الهدف من هذا البحث هو معرفة تأثير بعض

صفات التربة "القوام مثلًا" في ظاهرة الانجراف المائي وماء الانسياط السطحي باستخدام جهاز المطر المصطنع.

الأبحاث السابقة :

أشار Smith 1990 وأخرون إلى أن زيادة قوة صدمات قطرات المطر، تؤدي بدرجة كبيرة إلى زيادة التعرية، أما 1972 Baver وأخرون، فقد أشاروا إلى وجود علاقة سالبة عالية المعنوية، بين ثباتية مجموعات التربة ضد فعل طاقة المطر، وكمية ماء الانسياط السطحي وقابلية التربة للتعرية والانجراف.

إن الدراسات المبكرة في التأثيرات لاصطدام قطرة الماء على عمليات الفيض حدثت من قبل 1983 Ragab و 1992 Ela 1947 Ellison حيث وجد أن قطرات المطر، تحطم تجمعات سطح التربة، وتكون القشرة المسطحة، التي تعمل على خفض التوصيل الهيدروليكي من سطح التربة.

إن العلاقة بين غرض الماء والطاقة الحركية للأمطار، درست من قبل العديد من المهتمين، حيث أكد Mohammed 1985 إن تأثير الطاقة الحركية في وقت حدوث الانسياط السطحي، وزمن غرض الفيض النهائي، يتراقص عند زيادة مستوى الطاقة الحركية، وكذلك تأثير الوقت اللازم لحدوث الانسياط السطحي بشدة تساقط المطر.

ذكر Bubenzer et al 1985 بأن جهاز المطر المصطنع، اكتسب شهرة وسمعة ممتازة لاعتباره آلة نافعة لأبحاث معدل الرشح والانجراف. حيث ينتج هذا الجهاز حوادث مطرية يمكن تكرارها في أي زمان ومكان، وبالتالي من الممكن جمع المعطيات في ذات اللحظة، وبأسلوب اقتصادي. ولذلك جهاز المطر المصطنع أكثر فعالية، عليه إنتاج القطرات الموافقة في خصائصها لخصائص وشذوذات المطر الطبيعي في المنطقة التي يراد استخدامها فيها. يعتبر جهاز المطر المصطنع وسيلة لإيضاح ممتازة، لشرح ظاهرة الانجراف المائي، وتبين مدى الخسارة التي يتعرض لها الفلاح، وبالتالي من الواجب اتخاذ ما يلزم للحد قدر الإمكان من هذا الانجراف.

استخدمت أجهزة المطر المصطنع بشكل مكثف في الأبحاث المخبرية عن انجراف التربة في العديد من الدول في الثمانينات الأخيرة (Jennings 1987) وأخرون، 1967 Morin وآخرون، 1989 El-Swaify و Dangler و Thomas، 1976 El-Swaify و آخرون، 2002 Wukat وآخرون، 2002 ورفيقه).

كما أن الكثير من معلوماتنا المتعلقة بفهم عملية الانجراف المائي للتربة، والنطورة الجيومورفولوجية للمناطق الهمذانية كان يعتمد على دراسات جهاز المطر المصطنع.

إن انتاج مطر مصطلح يتطلب معايير أساسية متعددة منها:

1_ توزيع أحجام قطرات المطر القريبة من صفات المطر الطبيعي Bubenzer 1979.Gabriels 1978

2_ سرعة سقوط قريبة من سرعة السقوط النهائية للمطر الطبيعي
Giks1992, Hadson 1993.Lows 1941

3- شدة مطرية متباينة، وتوزيع عشوائي لحجوم قطرات المطر .Farmer 1973

٤- تجسس سقوط للمطر المصطنع على القطعة التجريبية يكاملها.

6_ تكوين عاصفة مطرية ذات دلالة معنوية من حيث المدة والشدة Meyer and Moore et al 1983 و Harmon 1979

7_ يجب أن ينبع المطر المصطنع طاقة حركية متناسبة مع الطاقة الطبيعية للمطر الطبيعي Jacqueline Blanquies و آخرون 2003.

ومما هو جدير بالذكر أن صفات المطر المصطنع لا تتوافق 100% مع صفات المطر الطبيعي. Hadson 1993 . ومن السهل إيجاد عاصفة مطالية صحيحة عندما يكون جهاز المطر المصطنع قادرًا على التحكم بالشدات المناسبة وفترة السقوط، إن الصفات الأساسية التي يجب يتمتع بها جهاز المطر المصطنع هي خفة الوزن وسهولة الاستخدام والفك والتركيب، دقيق من حيث خلق مطر مصطنع متجانس عبر القطعة التجريبية، قليل الكلفة ومحمية من تأثير الرياح.

تم التعبير كمياً عن حساسية تربة ما للانجراف المائي بـ Erodibility واستخدمت أجهزة المطر المصطنع للمقارنة بين حساسية تربة مختلفة للانجراف المائي في ظروف تربة مبعثرة. Abdul Rachid 1975 Gary وآخرين 1998. كما أن قدرة ماء المطر على إحداث الفعل الانجرافي Erosivity تقود إلى دراسة العلاقة بين ارتفاع سقوط وسرعة مختلف حجوم قطرات المطر، المنشكلي باستخدام جهاز المطر المصطنع، حيث أن الانجراف المائي عبارة عن القدرة الكامنة للمطر لإحداث الانجراف، وهو مرتبط بالصفات الفيزيائية للمطر Hudson 1971 كما أن جميع العلاقات المتعلقة بالفعل الانجرافي للمطر تربط الانجراف بالطاقة الحركية. يعتبر ماء الانسال السطحي تابعاً لمجموعة متغيرات تشمل الشدة المطرية وفترة المطر ونوع التربة ورطوبتها، واستعمالات الأراضي والغطاء النباتي والميل. ولابد من أن يحقق الجهاز توزيعاً متساوياً للمطر المصطنع Solomon 1990.

إن نظام النزع من مجتمعات التربة وعملية نقل حبيبات التربة تختلف من نوع من الانجراف إلى آخر، فمثلاً في انجراف الطرشة splashing تملك قطرات المطر الهاطلة فعلاً انجرافياً في طاقتها Kinetic Energy التي تضرب التربة وتتنزع حبيبات الرمل والسلت من محبيبات التربة إلى الهواء Wild 1993. إن الثباتية العالية للمحبيبات في التربة الكلسية، تقلل معدل الانجراف الرشاشي Splashing وذلك بسبب وجود القشرة السطحية الرفيعة على سطح التربة McIntyre 1958.

يحتوى ماء الانسال السطحي على كمية من الرواسب تعتمد على حجم الحبيبات المنجرفة Megahan 1978 كما يتغير نسبياً حجم الرواسب بتغير الشدة المطرية واستمرارية الانجراف Swanson 1967 ورفيقه.

تطورت أجهزة المطر المصطنع لتأمين احتياجات التجارب المجراء في ظروف مسيطر عليها وعلى الأخص تلك المتعلقة بصفات المطر الهاطل مثل: الشدائد المطرية، وحجوم قطرات المطر وطاقتها الحركية، وماء الانسال السطحي

والرersh 1995 Tauman and Bradford 1995. وقد اقترح استخدامه لتحديد ارتقان المرش وغزارته (El shafie 1976) في مصر، كما درس F. Abdel Kader 2004 الانجراف المائي في الساحل الشمالي الغربي بمصر وبين أن كميته قد تصل إلى 40 طن/هـ/سنة.

أهداف البحث :

- 1 تأثير قوام الأتربة في كمية ماء الانسياط السطحي، وكمية التربة المفقودة، تحت نظام المطر المصطنع.
- 2 تأثير درجات مختلفة من الميل في كل من كمية ماء الانسياط السطحي وكمية التربة المنجرفة.
- 3 معرفة أي من مكونات التربة المعدنية أكثر استعداداً للنقل بماء الانسياط السطحي.
- 4 العلاقة بين الشدة المطرية وظاهرة الانجراف المائي.
- 5 العلاقة بين الطاقة الحركية للمطر المصطنع وكمية التربة المنجرفة.

المواد وطرق البحث

أجريت التجارب في مركز البحوث الزراعية في الصبحية قرب الإسكندرية على خمس أنواع من الأتربة : أتربة جيرية-منطقة النوبالية وأتربة طينية-منطقة شبين الكوم وأتربة سلانية طينية : منطقة الصبحية قرب الإسكندرية وأتربة رملية من منطقة البيستان وأتربة رملية من منطقة الجبل الأصفر : تروى بمياه الصرف الصحي لمدة تزيد عن 75 عاماً.

كان العمق الممثل للدراسة هو 0 - 15 سم. حيث تؤخذ العينات وتجفف وتتخل في المرحلة الأولى للحصول على ناعم التربة 2 مم.

تم إجراء التحاليل الفيزيائية والكيميائية الازمة للتعرف على خصائص الأتربة المدروسة. استعمل الجهاز Rainfall simulator - F₃ وهو بريطاني الصنع لتوليد المطر المصطنع المستعمل في التجارب.

تم اختبار تجسس توزيع الماء فوق الصواني أثناء الهطل. استخدمت

منظومة المطر المصطنع لإنتاج شذتين مطريتين 47.2 و 80.8 مم/سا. وضعت نماذج التربة في صوانى معدنية ذات أبعاد $14 \times 30 \times 100$ سم وذات فتحة علوية أمامية تسهل استقبال ماء الانسال السطحي الحاوي على التربة المنجرفة.

مراحل إنجاز التجارب كانت على مرحلتين :

آ - المرحلة الأولى باستخدام ناعم التربة :

- التربة : خمس أنواع من الترب

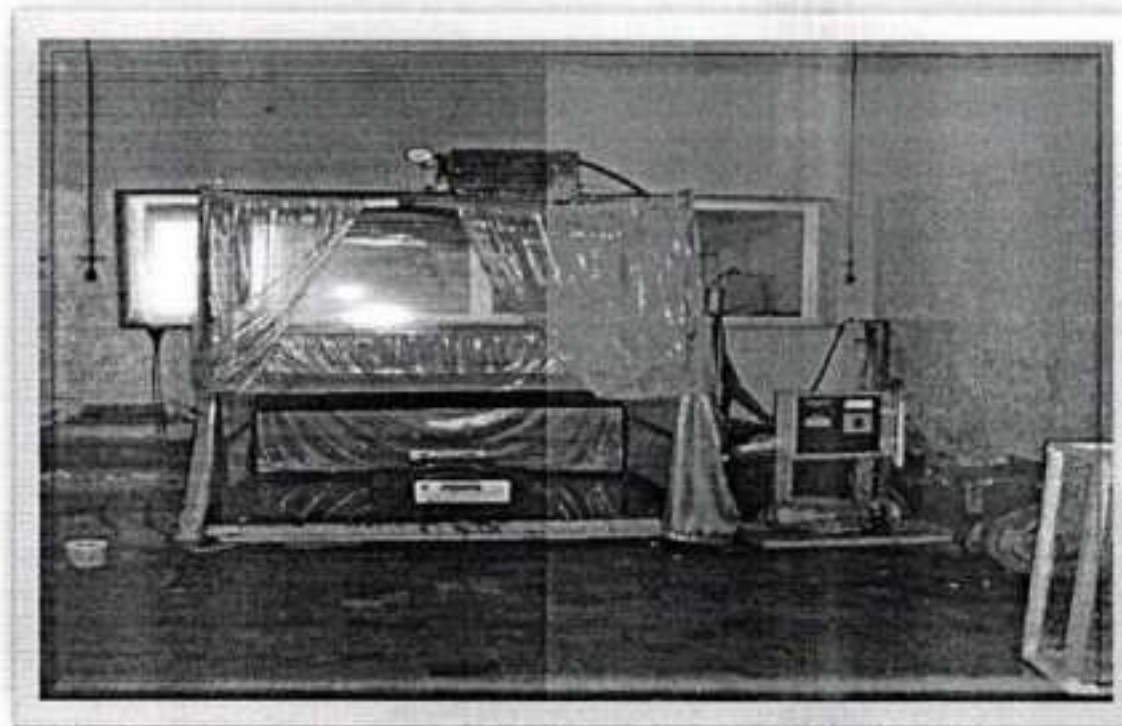
- الشدة المطرية : شذتان 47.2 و 80.8 مم/سا.

- العيل : 6، 9، 12، 15 %.

- الزمن : 3، 6، 9، 12، 15 دقيقة.

- المكررات : ثلاث مكررات.

وفي كل مرة تقدر كمية التربة المنجرفة، وحجم ماء الانسال السطحي، وسمكافة القشرة المشكلة " في الأتربة الجيرية والطينية بصورة أساسية "، وكذا قساوتها.



الشكل رقم (1) يبين جهاز المطر المصطنع المستخدم في التجارب

ب - المرحلة الثانية :

- باستخدام مجموعات (0.5 - 2 ، 2 - 9 ، 9 - 20) مم
- التربة : نوعان من التربة : الجيرية والطينية.
- الشدة المطرية : شدّتان 47.2 و 80.8 مم/سا.
- الميل : 9%
- الزمن : تقدیر الفاقد كل 5 دقائق ولمدة 35 دقيقة.
- المكررات : ثلاثة مكررات.

تمت دراسة العلاقة بين الفاقد من التربة كل 5 دقائق والطاقة الحركية للمطر المصطنع.

النتائج والمناقشة :

لوحظ وجود تباين في النسبة المئوية لمكونات التربة المنجرفة مقارنة مع التربة الأصلية ولجميع الترب المدروسة. حيث أن السلت يشكل الجزء الأكبر من المواد المنجرفة وبالتالي انخفاض الرمل والطين كثيراً مقارنة بالترابة الأصلية، ويمكن تفسير ذلك بقدرة حبيبات السلت المتواجدة في حبيبات التربة المنجرفة على الحركة أكبر من قدرة حبيبات الطين والرمل. أضف إلى ذلك القابلية العالية للسلت على التناحر والنقل مقارنة بباقي المكونات وهذا يتفق مع نتائج

Morgan 1985 و Farmer 1973.

الجدول رقم (1) يبين بعض الصفات الفيزيائية والكيميائية للأتربة المدروسة

(الطبقة السطحية 0 - 15 سم)

NO	Particle Size Distribution (%)			Texture Class	pH 1:2.5	EC dSm ⁻¹	OM %	CaCO ₃ %	H.C. cm ³ /h
	Sand	Silt	Clay						
1	60.8	14.6	24.6	Sandy Loam	8.45	3.3	0.39	23.3	1.30
2	18.08	51.32	30.6	Clay	7.90	5.5	0.58	2.50	-
3	66.3	15.8	17.9	Sandy Loam	7.80	1.6	1.90	2.30	6.25
4	77.4	3.10	19.5	Sandy Loam	8.30	1.0	0.13	7.90	12.5
5	35.8	30.6	33.6	Clay Loam	7.24	6.23	0.46	1.40	4.50

1-Calcareous Soil (Nobari Location). 2-Clay Soil (Shben El-kom).

3-Sandy soil (El-Gable Asfar Location).

4-Sandy soil (Bosstan Location). 5-Silty Clay (Sobuha Location).

كما وجد بين Wischmeier and Mannering 1969 أن زيادة نسبة السلت والرمل الناعم جداً في التربة يجعلها أكثر قابلية للتعرية مقارنة بباقي مكونات التربة، لأن هذين المكونين (السلت والرمل الناعم جداً) أكثر قابلية للتعرية وسهلة التأثير مقارنة بحببيات الطين.

نتائج المرحلة الأولى المتعلقة بانجراف التربة وماء الانسياط السطحي
أولاً - استنتاجات عامة :

يلاحظ ما يلي :

- أ. يزداد فقد التربة بازدياد الميل والشدة المطرية.
- ب. تختلف الأتربة فيما بينها من حيث مقاومتها للانجراف الصائم.
- ج. من الصعب إيجاد إطار عام للمقارنة بين الأتربة المختلفة المستخدمة من حيث كمية الأتربة المنجرفة فيها بفعل المطر المصطنع، ولكن يمكن القول عند المقارنة بين التربة الرملية وتربة الجبل الأصفر أن هناك عدداً من التحولات طرأت على أتربة الجبل الأصفر التي كانت في الأساس أتربة رملية. بعد استخدام مياه الصرف الصحي ولمدة تزيد عن (75 سنة) وتشمل تغيراً طفيفاً في قوام التربة زادت معه نسب العناصر الناعمة مثل الطين والسلت (نتيجة التحطيم الميكانيكي للحببيات كبيرة الحجم)، وزيادة محتوى الطبقة السطحية من المادة العضوية مع خفض محتوى الطبقة السطحية من كربونات الكالسيوم وكذلك pH إضافة إلى زيادة طفيفة في قيم EC . وإن مجمل هذه التغيرات ساهمت في توажд عدد من المجموعات وهي على درجة معينة من الثباتية مما خفف تسبباً حرفة الماء إلى أسفل. هذه التغيرات تفسر الفرق في قيم فقد في التربة المفقودة بينها وبين التربة الرملية. وبالتالي يمكن القول أنه في حالة التربة الرملية حيث القوام خشن والمسامية وبالتالي التفاذية عالية والـ Percolation إلى الأسفل أولاً وبعد الإشباع يبدأ ماء الانسياط السطحي بالحركة، وهذا يفسر أن زمن بدء الجريان السطحي كان كبيراً، حوالي 4.5 دقيقة من بدء تساقط المطر المصطنع. ولما كانت نسبة العناصر الناعمة قليلة فهذا يفسر أن ماء الانسياط السطحي كان شبه رائق "عند ميل 6 % " وعند الشدة

المطرية الأولى 47.2 م/سا وتناقص هذا الرقم ليصبح 4.3 دقيقة بالنسبة لترابة الجبل الأصفر، ويحمل معه كمية أكبر من التربة المنجرفة. وما هو جدير بالذكر أنه في كلتا الترتيبتين لم تتشكل القشرة السطحية، كما أن زمن بداية الانجراف يقل بازدياد الشدة المطرية في كلا الترتيبتين. سبق وذكرنا أن الأتربة تختلف فيما بينها من حيث مقاومتها للانجراف المائي، وبالتالي من المنطقي القول أن بداية الانجراف مختلفة أيضاً، ولتوسيع الصورة لابد من الحديث عن سمك القشرة السطحية المتشكلة / 4 مم / في التربة الجيرية وحوالي 2 مم / في التربة الطينية والسلتية الطينية. من الملاحظ أن سمك القشرة السطحية لا تتأثر بالشدة المطرية وهي الأقسى في التربة الجيرية.

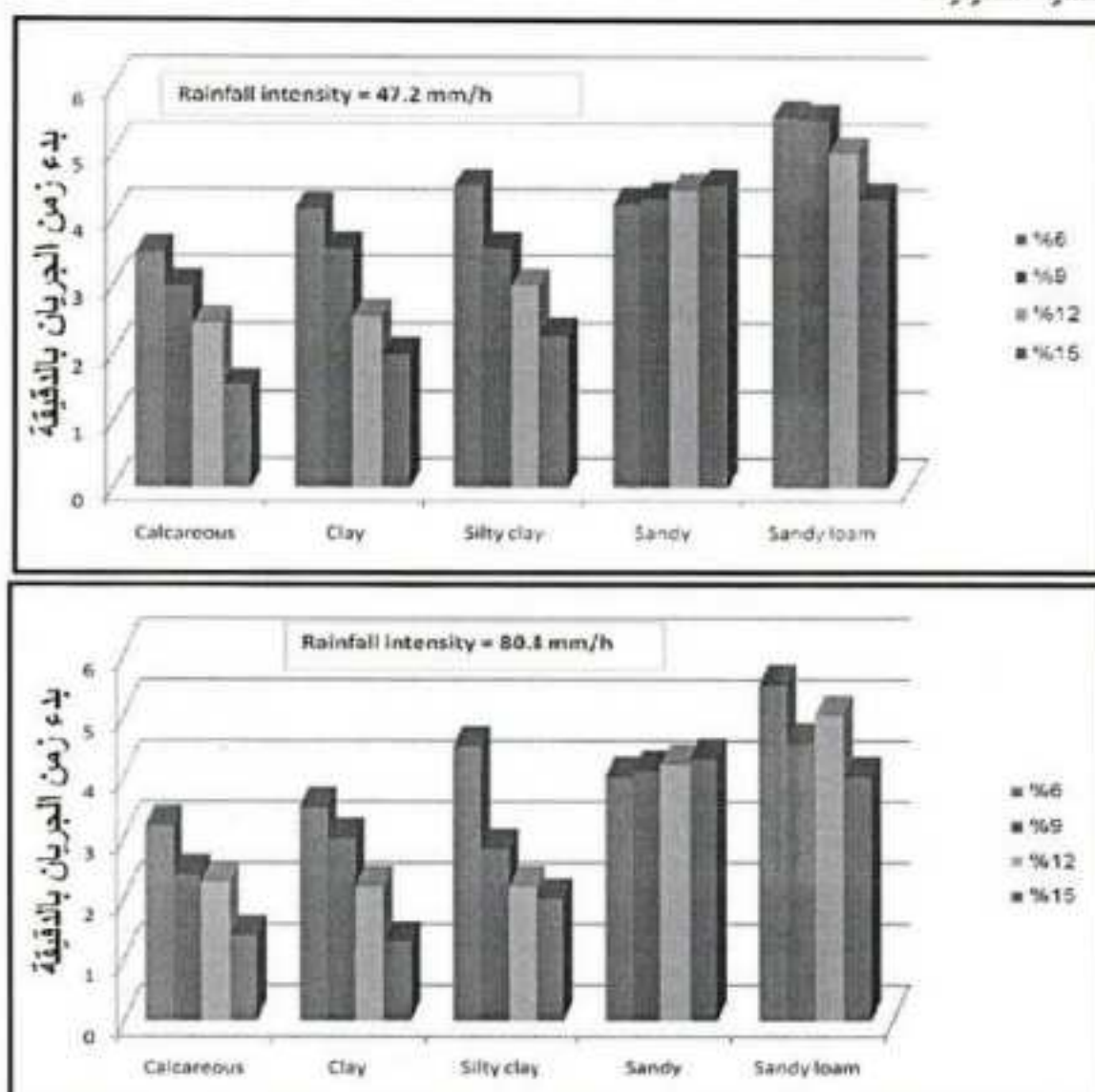
من خصوصيات الأتربة الجيرية " وجود كربونات الكلسيوم " وخصوصاً عندما تكون حبيباتها صغيرة وقريبة من حبيبات الطين والسلت الناعم ، إضافة إلى الطين كما ونوعاً، تلعب دوراً ذو تأثير هام في تحبيب التربة، كما تحسن من البناء ، ولا ننسى دور Ca^{++} في ثباتية البناء، لكن الذي يفسر ارتفاع قيمة التربة المجرفة هو شكل القشرة السطحية.

يمكن القول أنه لا توجد قاعدة ثابتة عامة بتحديد نسبة تأثير كل من عوامل المطر "كمية وشدة وفتره هطل" والتربة (قوام، بناء، مادة عضوية، أملاح.....) وكذا الظروف التجريبية الأخرى التي تتحكم بظروف وكمية ماء الانسياط السطحي وانجراف التربة، وأالية تأثير كل من هذه العوامل على حدة وتأثير جميع هذه العوامل في عملية الانجراف المائي.

ثانياً - دراسة بدء زمن حركة ماء الانسياط السطحي :

عند دراستنا للشكليين رقم (2 و 3) المتعلقة بزمن بدء حركة ماء الانسياط السطحي، يلاحظ تناقص زمن بدء الحركة بازدياد الميل ولكل الأتربة وعند الشرتين 47.2 و 80.8 مم/سا وبده زمن الحركة أقل في الشدة الأعلى عنه في الشدة الأدنى مع تزايد زمن البدء بالحركة من الأتربة الجيرية مروراً بالطينية وصولاً إلى التربة

السلطية الطينية.



الشكلان رقم (2 و3) يبيّنان زمن بدء جريان الماء للأتربة المدروسة عند درجات ميل مختلفة

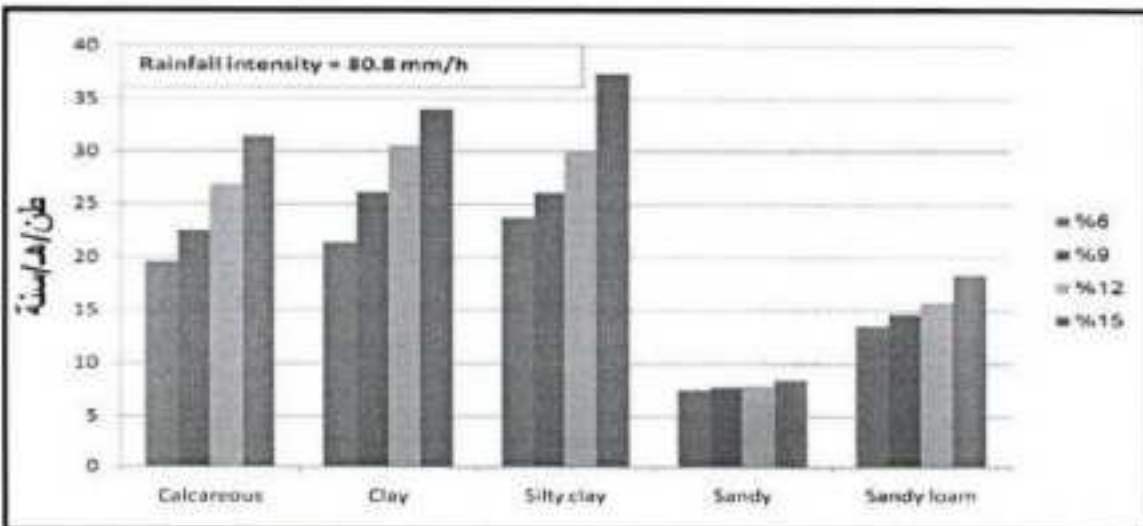
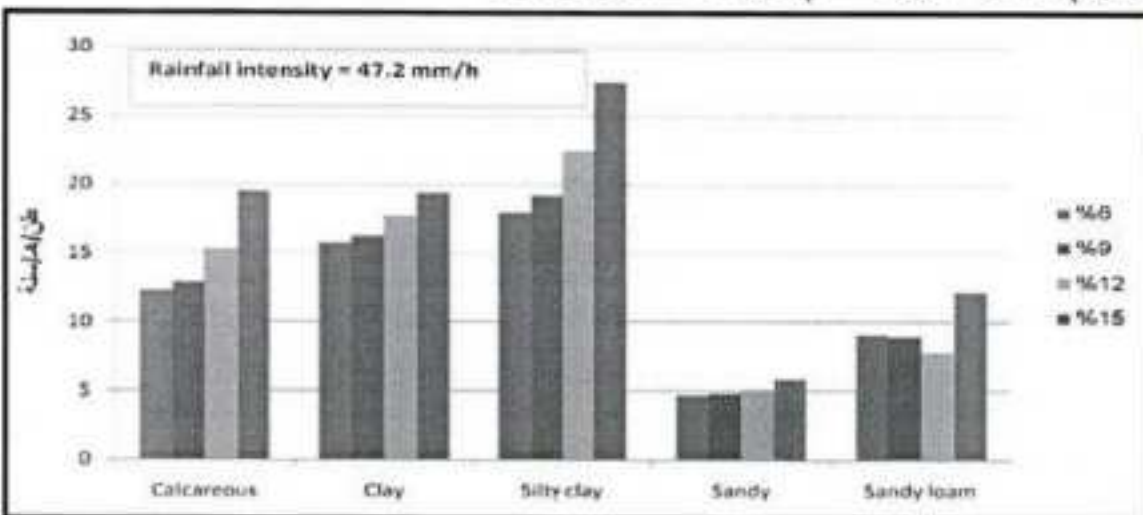
ثالثاً - دراسة مقدار فقد الأتربة المدروسة :

إن مقدار فقد الأتربة المدروسة يمكن تقسيمه إلى قسمين تسهيلاً لتحليل

النتائج (الشكلان 4 و 5) :

القسم الأول : ويشمل الأتربة الجيرية والطينية والسلطية الطينية وفيه يزداد معدل فقد بالانتقال من التربة الجيرية إلى الطينية إلى السلطية الطينية ولكل درجات الميل. وبمعنى آخر يمكن القول أن مقاومة التربة للانجراف تسير بالاتجاه المعاكس أي تزداد مقاومة التربة للانجراف المائي بالانتقال من التربة السلطية الطينية مروراً

بالطينية وصولاً إلى التربة الجيرية.
 القسم الثاني : ويشمل الأتربة الرملية وهي قسمان : الرملية وتربة الجبل الأصفر .
 ويلاحظ في هذا القسم أن معدل فقد في هذه الأتربة بصورة عامة أقل منه في
 أتربة القسم الأول . وكان معدل فقد أعلى في تربة الجبل الأصفر منه في التربة
 الرملية . وهذا يتفق مع التحاليل الفيزيائية لهذه الأتربة حيث لوحظ ، في تربة الجبل
 الأصفر ، زيادة نسبة العناصر الناعمة مثل الطين والسلت والتي دخلت في صنع
 مجموعات شاركت في تكوينها المادة العضوية ، لكن جزءاً من هذه المجموعات (قليلة
 النباتية) ما تثبت أن تتحطم عن اصطدامها بالماء .



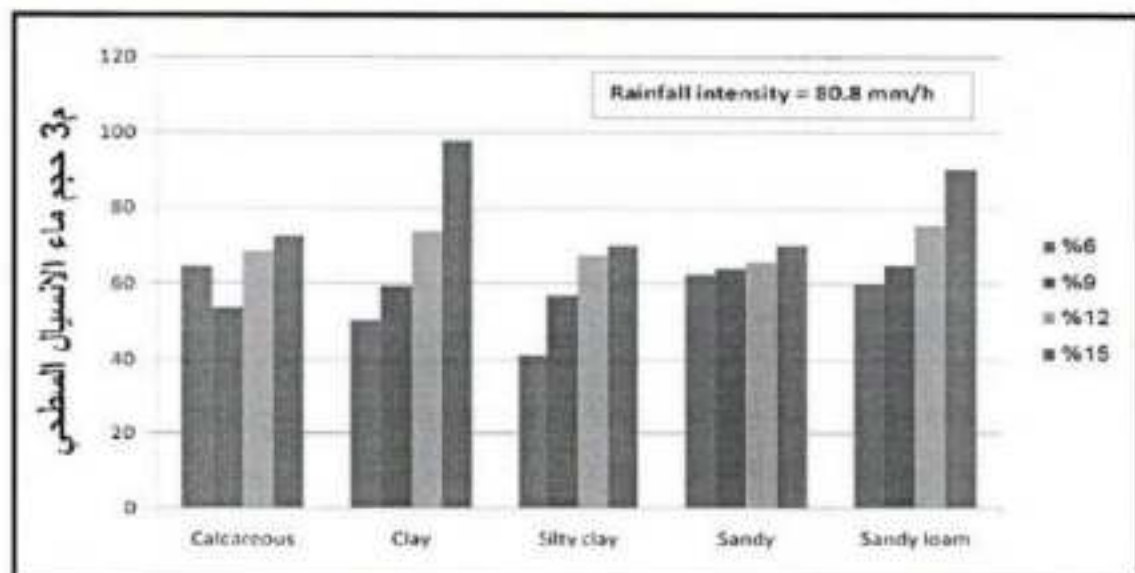
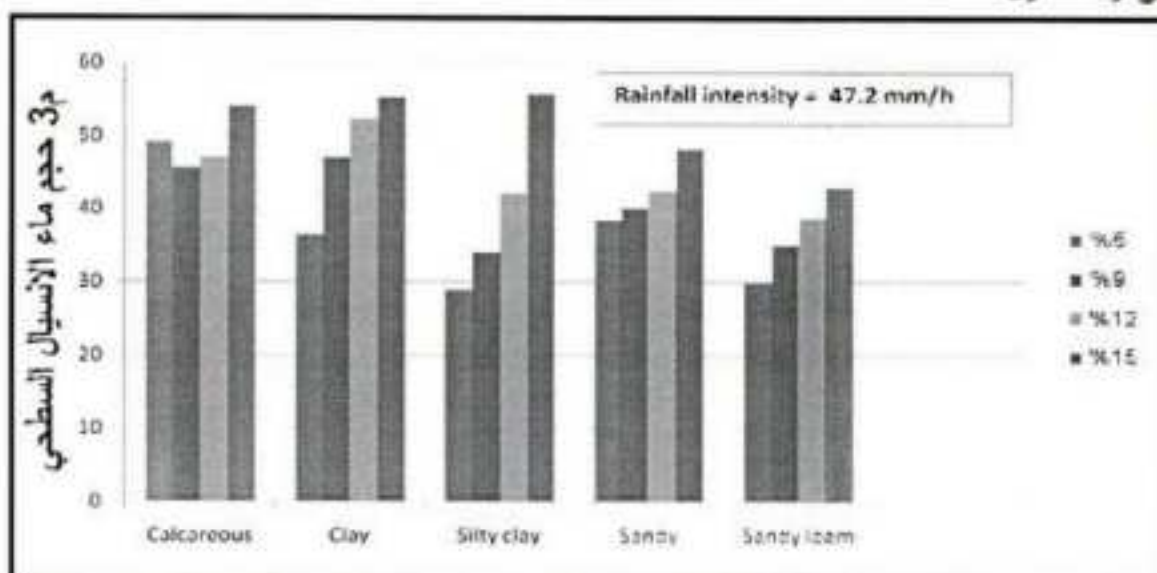
الشكلان رقم (4) و (5) يبيّنان حجم التربة المنجرفة مم/هـ/سنة للأتربة المدروسة

عند درجات ميل مختلفة

رابعاً - دراسة حجم ماء الانسياط السطحي :

فيما يتعلق بحجم ماء الانسياط السطحي فعند دراسة الشكلان رقم (6 و 7) المتعلقان بحجم هذا الماء عند الشتتين المستخدمتين، يلاحظ من دراستهما أن النتائج يمكن أن تقسم إلى قسمين :

القسم الأول : ويخترق بالأرتبة الجيرية والطينية والسلانية الطينية وفيه نرى أن حجم ماء الانسياط السطحي يتناقص من الأرتبة الجيرية مروراً بالطينية وصولاً إلى الأرتبة السلانية الطينية، كما يرى منحى عام معه يزداد حجم ماء الانسياط السطحي بازدياد الميل.

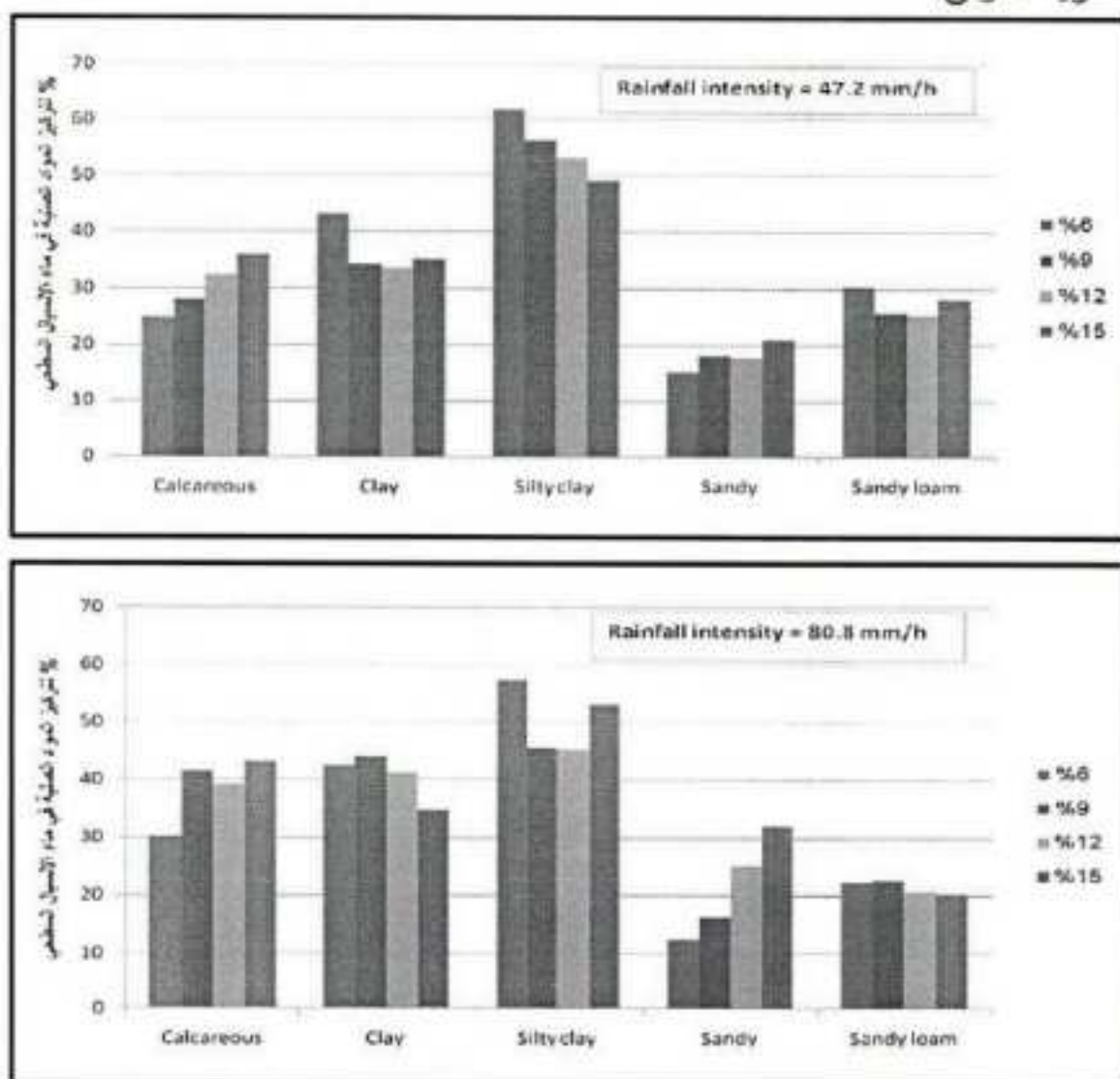


الشكلان رقم (6 و 7) يبيّنان حجم ماء الانسياط السطحي م3 للأربطة المدروسة عند درجات ميل مختلفة

القسم الثاني : ويشمل الأتربة الرملية وأتربة الجبل الأصفر وفيه يلاحظ أن حجم ماء الانسياط السطحي في الأتربة الرملية أعلى منه فيأتربة الجبل الأصفر وكل درجات الميل . وما تم استنتاجه في الشدة المطرية الأدنى ينطبق على الشدة المطرية الأعلى غير أن القيم أكبر .

خامساً - دراسة تركيز المواد الصلبة في ماء الانسياط السطحي :

فيما يتعلق بتركيز المواد الصلبة في ماء الانسياط السطحي فهي متغيرة بتغير التربة وتتغير الميل وهي أكبر في الشدة المطرية 80.8 مم/سا عنده في الشدة المطرية الأولى .

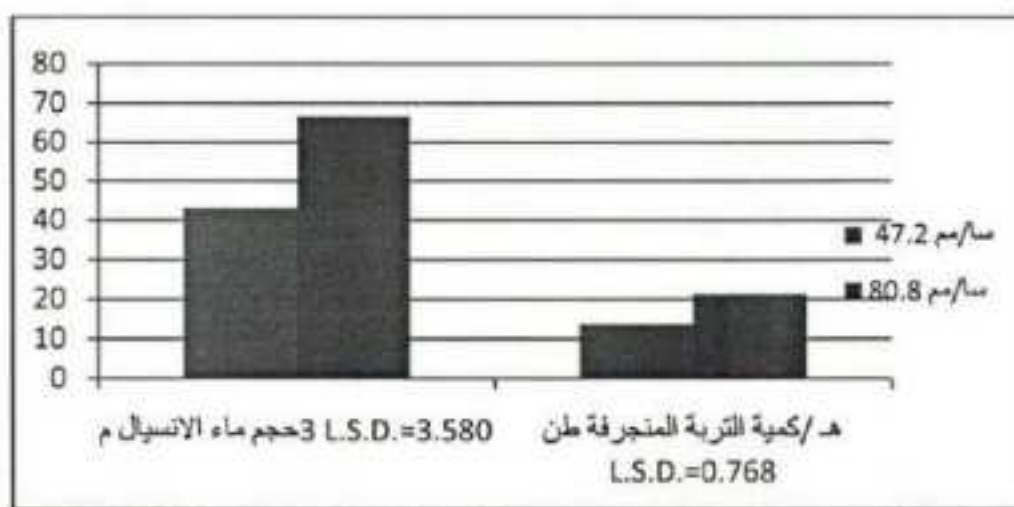


الشكلان رقم (8 و 9) يبيتان العلاقة بين % لتركيز المواد الصلبة في ماء الانسياط السطحي عند درجات ميل مختلفة

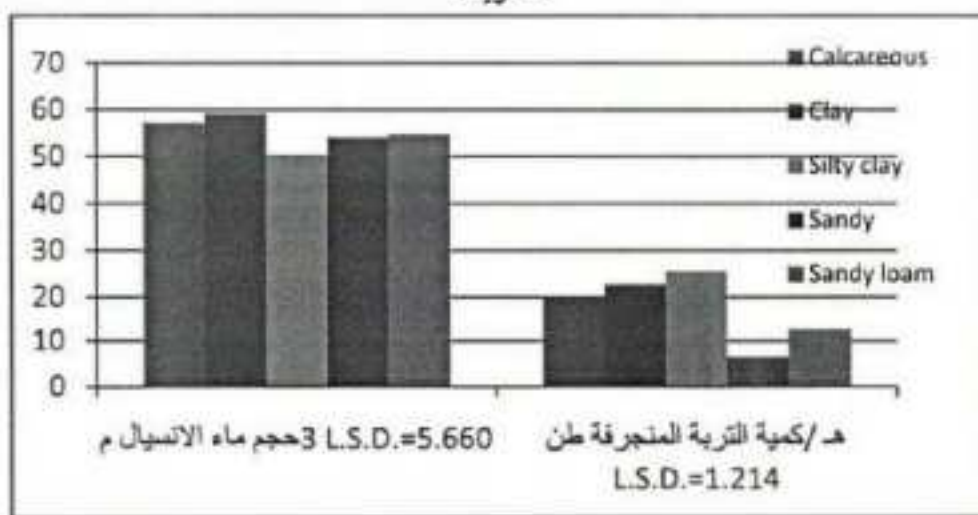
سادساً – الدراسة الإحصائية :

تمت الدراسة الإحصائية على برنامج Genstat 12.1 لمعطيات الدراسة بالنسبة لحجم ماء الانسياط وحجم التربة المنجرفة حسب العوامل المدروسة وهي الشدة المطرية ونوع التربة ومبلها، ووضعت الأشكال البيانية رقم (10 و 11 و 12).

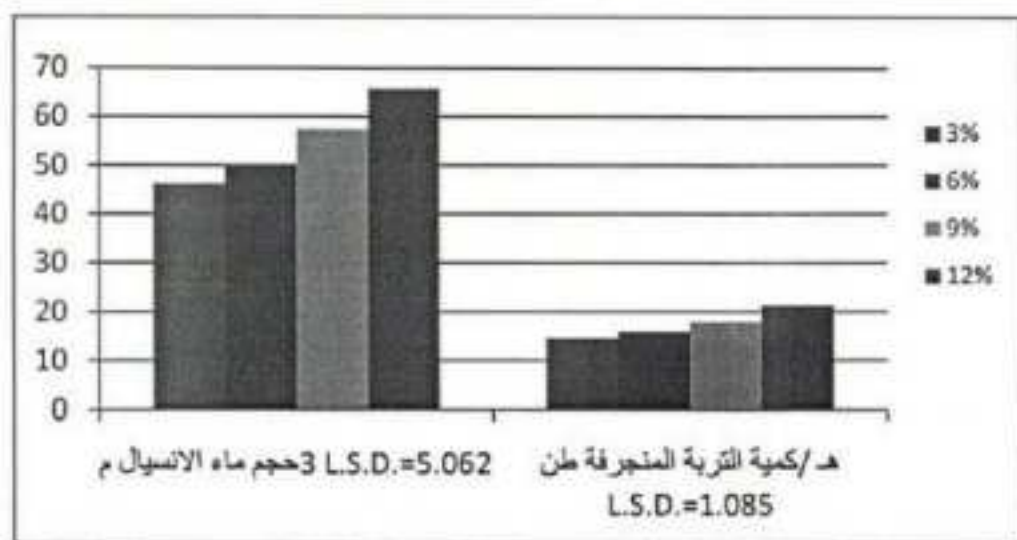
يلاحظ من الأشكال السابقة أنه توجد فروق عالية المعنوية بين المعاملات حسب الشدة المطرية ومبل التربة على مستوى المعنوية ($P < 0.001$)، حيث بزيادة حجم ماء الانسياط السطحي وحجم التربة المنجرفة بزيادة الشدة المطرية ومبل التربة.



الشكل 10: العلاقة بين متوسط حجم ماء الانسياط السطحي m^3 وكمية التربة المنجرفة طن/م³ مع الشدة المطرية.



الشكل 11: متوسط حجم ماء الانسياط السطحي m^3 وكمية التربة المنجرفة طن/م³ حسب نوع التربة

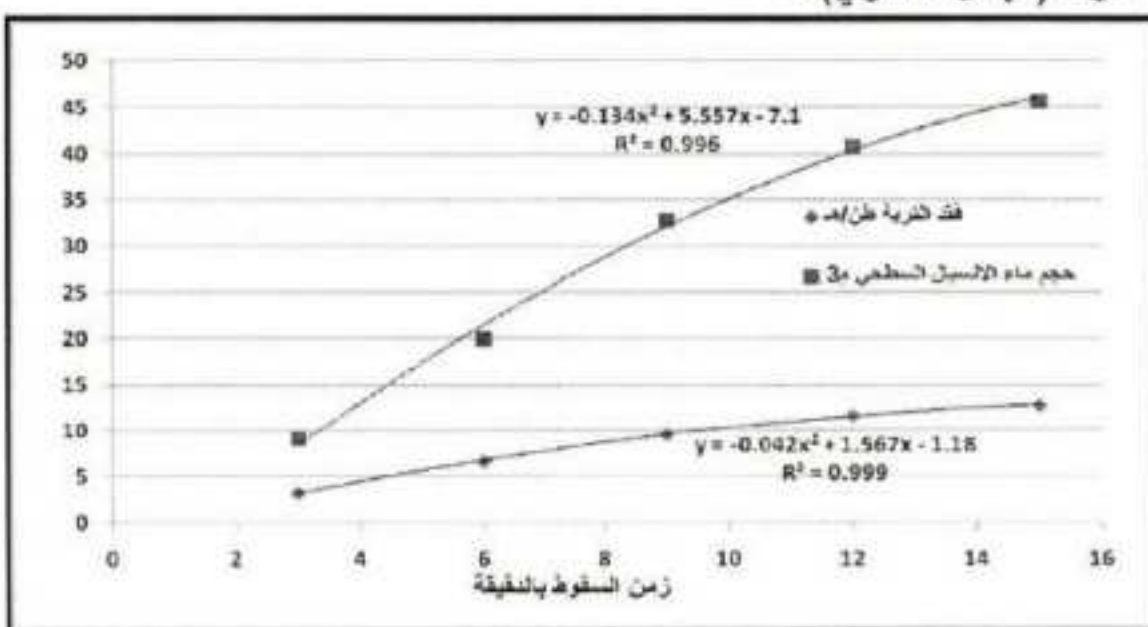


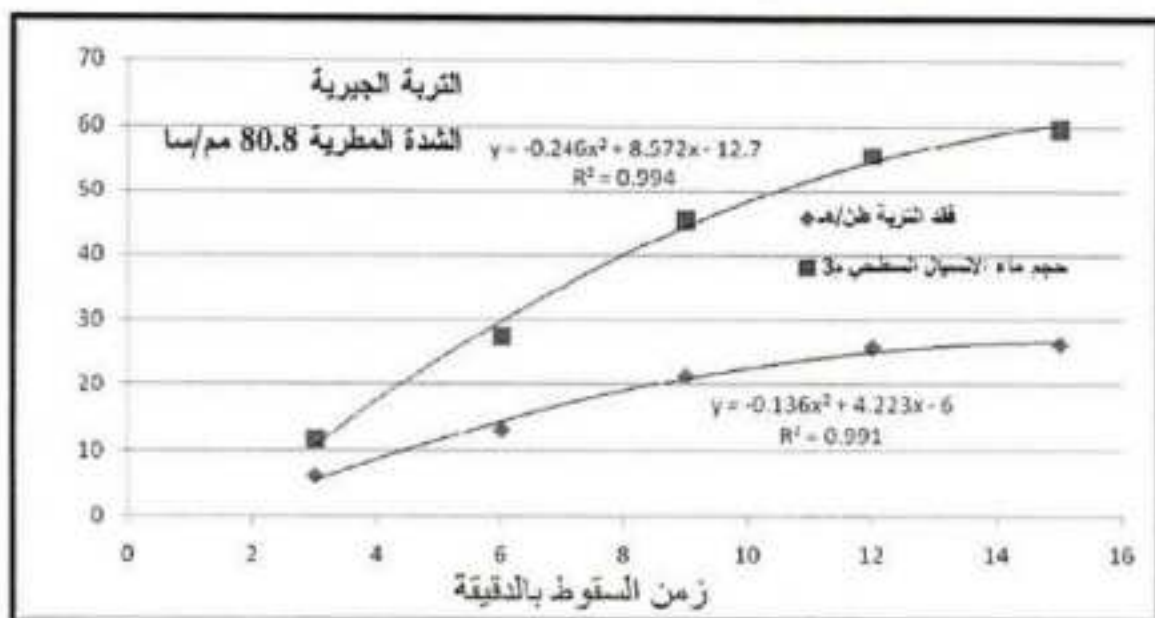
الشكل 12: العلاقة بين متوسط حجم ماء الانسیال السطحي m^3 وكمية التربة المنجرفة $\text{طن}/\text{هـ}$ وميل التربة

كما يلاحظ وجود فروق عالية المعنوية بين المعاملات حسب نوع التربة على مستوى المعنوية ($P<0.001$) بالنسبة لحجم التربة المنجرفة و ($P<0.05$) بالنسبة لحجم ماء الانسیال السطحي، حيث كان أقل حجم تربة منجرفة من التربة الرملية وأعلاها من التربة السليتية الطينية، لما بالنسبة لحجم ماء الانسیال فكان أقله في التربة السليتية الطينية وأعلاه في التربة الطينية.

سابعاً - دراسة العلاقة بين فقد التربة وحجم ماء الانسیال السطحي مع زمن

السقوط (الهطل المطري) :

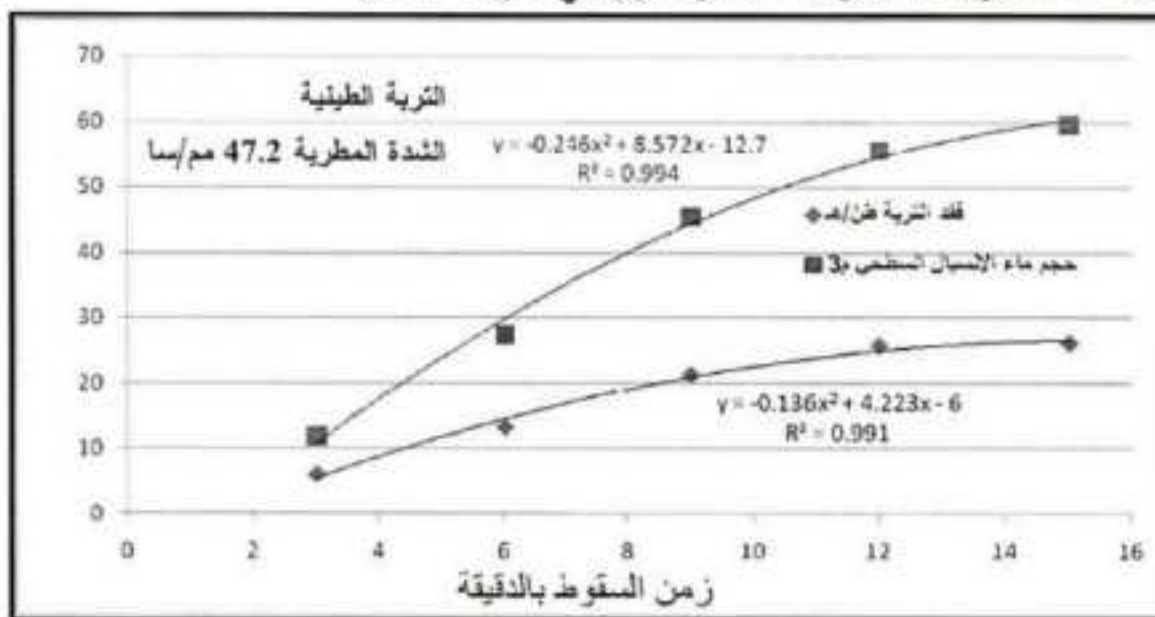


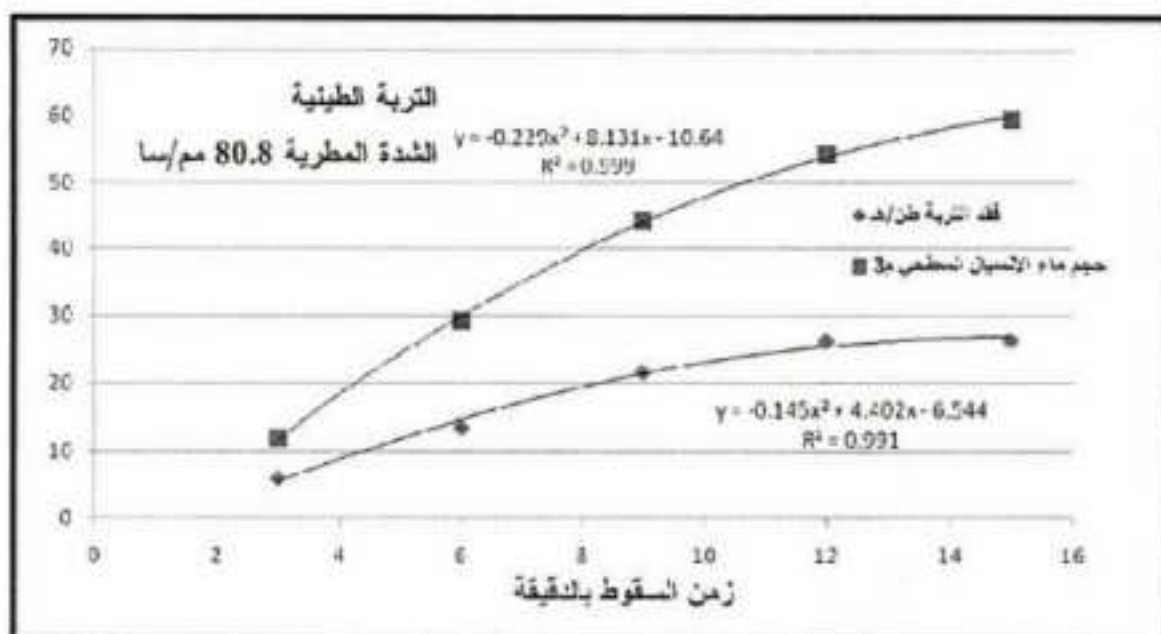


الشكلان رقم (13 و 14)

يبين الشكلان (13 و 14) العلاقة بين فقد التربة طن/هـ و حجم ماء الانسياط السطحي (م^3) بتغير زمن سقوط المطر المصطنع كل ثلات دقائق حتى 15 دقيقة على التربة الجيرية عند ميل ثابت 9 % و شدة مطرية 47.2 و 80.8 mm/سا .

ملاحظة : أجريت التجارب كما هو مقرر في طريقة العمل.





(الشكلان رقم (15 و 16)

يبين الشكلان (15 و 16) العلاقة بين فقد التربة طن/هـ و حجم ماء الانسياط السطحي (m^3) بتغير زمن سقوط المطر المصطنع كل ثلث دقائق حتى 15 دقيقة على التربة الطينية عند ميل ثابت 9 % و شدة مطرية 47.2 و 80.8 mm/sec .

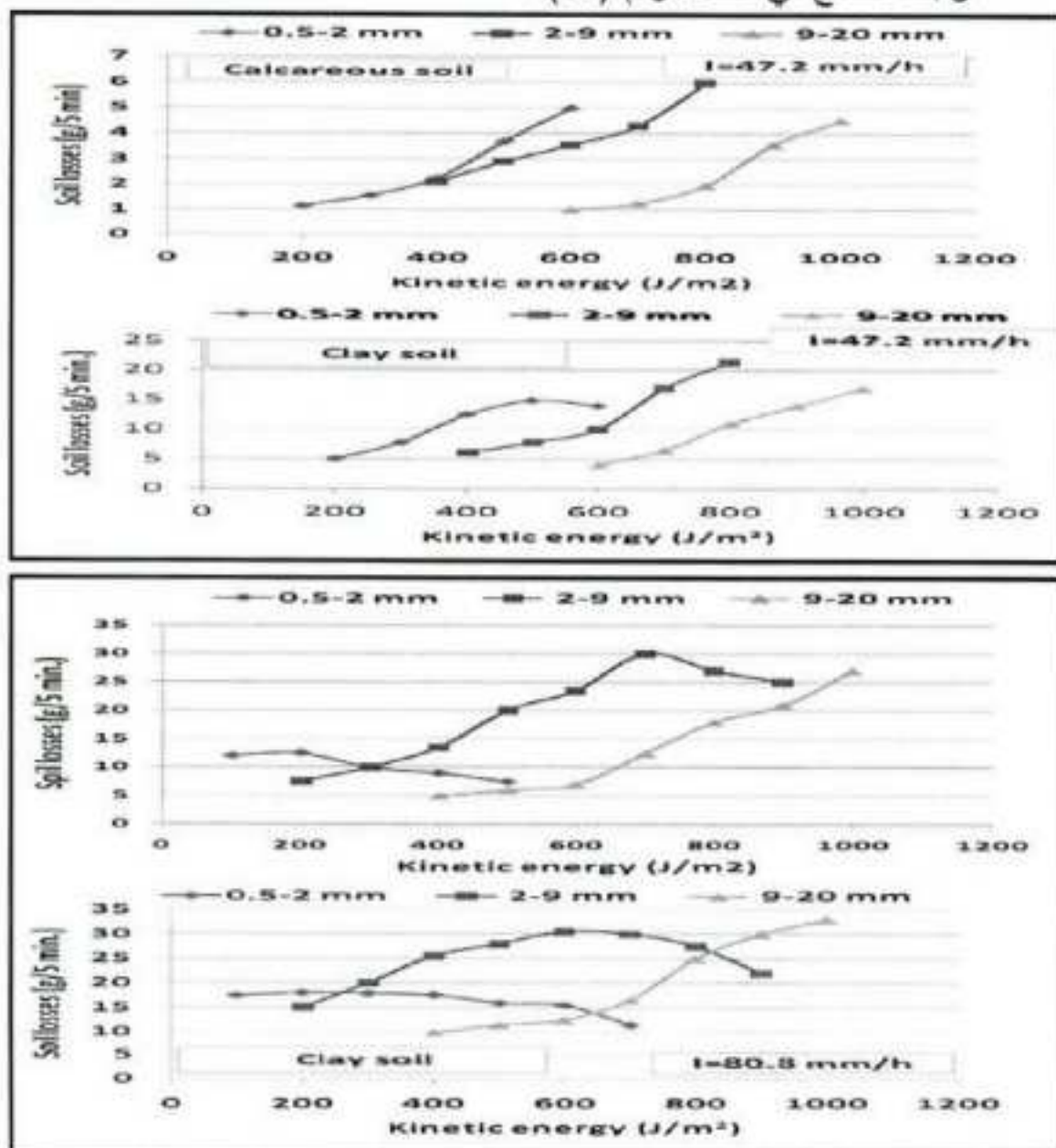
يستنتج من الأشكال أعلاه ما يلى :

- 1 لابد من تجمع مقدار معين من الطاقة الحركية ل قطرة المطر، تبدأ بعدها التربة بالانجراف وبالتالي يلاحظ أن هذه الحركة تبدأ بعد زمن ما من بدأ التجربة.
 - 2 يلاحظ أن هناك تناقصاً في الانجراف مع مرور الزمن ويعزى ذلك إلى تشكل القشرة السطحية.
 - 3 يلاحظ زيادة فقد بازدياد الشدة المطرية.
 - 4 يلاحظ زيادة حجم ماء الانسياط السطحي بازدياد الشدة المطرية.
- نتائج المرحلة الثانية المتعلقة بالعلاقة بين كمية التربة المنجرفة والطاقة الحركية للمطر المصطنع :**

رغبة في دراسة علاقة التربة المنجرفة مع الطاقة الحركية للمطر المصطنع فقد اختيرت ثلاثة مستويات من المجموعات الترابية، المأخوذة من التربة

السطحية، والمنخولة على مناخل مختلفة الأقطار، اختبرت خصيصاً لهذا الغرض وهي : (0.5 - 2 مم، 2 - 9 مم، 9 - 20 مم) للتربيتين الجيرية والطينية، وهما الأكثر شيوعاً في مصر، عند شذتي مطريتين 47.2 و 80.8 مم/سا، وكان ميل الصواني ثابتاً عند 9 %، وتم حساب كمية التربة المفقودة (المنجرفة) كل 5 دقائق، كما تم حساب الطاقة الحركية الكلية للمطر الهائل.

رتبت النتائج في الشكل رقم (17).



الشكل رقم (17) يبين العلاقة بين الطاقة الحركية للمطر المصطنع وفقد التربة في التربة الطينية والتربة الجيرية

من الشكل أعلاه يمكن استنتاج التالي :

- 1 هناك اختلاف في بداية تعرية التربة، وذلك تبعاً لنوع التربة وأيضاً بين المجموعات القطرية في التربة الواحدة.
- 2 المجموعات القطرية الكبيرة يبدأ فيها الانجراف، بعد تجمع كميات أكبر من الطاقة الحركية مقارنة بالمجموعات الأصغر.
- 3 في المقارنة بين الشذئين المطريتين المستخدمتين، نجد أن الشدة الأعلى للمطر تحتاج إلى طاقة و زمن أقل للوصول إلى أعلى كمية فقد للتربة، مقارنة بالمستوى الأقل للطاقة.

أهم النتائج :

- 1 يشكل السلت الجزء الأكبر من المواد المنجرفة، ويمكن تفسير ذلك بقدرة حركة حبيبات السلت المتواجدة في حبيبات التربة المنجرفة على الحركة أكبر من قدرة حبيبات الطين والرمل. أضف إلى ذلك القابلية العالية للسلت على التناحر والنقل مقارنة بباقي المكونات.
- 2 يتأثر فقد التربة بالانجراف المائي بقوامها ونوعها.
- 3 فقد التربة وحجم ماء الانسياب السطحي يزداد بزيادة الطاقة الحركية للمطر.
- 4 هناك اختلاف في بداية تعرية التربة، وذلك تبعاً لنوع التربة، وأيضاً بين المجموعات القطرية في التربة الواحدة.
- 5 يزداد فقد التربة، وحجم ماء الانسياب السطحي بازدياد الشدة المطالية وزاوية الميل.
- 6 المجموعات القطرية الكبيرة يبدأ فيها الانجراف بعد تجمع كميات أكبر من الطاقة الحركية مقارنة بالمجموعات الأصغر.
- 7 الشدة الأعلى للمطر تحتاج إلى طاقة و زمن أقل، للوصول إلى أعلى كمية فقد للتربة، مقارنة بالمستوى الأقل للطاقة.
- 8 زمن بدء حركة ماء الانسياب السطحي في كل تربة :

- يتافق بازدياد الميل.

- يتافق بازدياد الشدة المطرية.

وأسرع ما يمكن في التربة الجيرية، ويعزى ذلك إلى تشكيل القشرة السطحية.

9- إن النسبة المئوية لتركيز الرواسب الصلبة في ماء الانسیال السطحي تزداد بازدياد الميل، وهي منخفضة في التربة الجيرية، حيث أن تشكيل القشرة السطحية، يقلل من فقد الرواسب على حساب ماء الانسیال السطحي.

10- إن تقدير $Erosivity$ له أهمية كبيرة في تقدير انجراف التربة، وأهمية تطبيقية لحفظ التربة، والتخطيط لاستعمالات الأراضي الزراعية.

المقترحات والتوصيات :

1- لما كان تقدير $Erosivity$ له أهمية كبيرة في تقدير انجراف التربة، وأهمية تطبيقية لحفظ التربة، والتخطيط لاستعمالات الأراضي الزراعية كان لابد من اقتداء جهاز المطر المصطنع Rainfall simulator، خصوصاً وأن القطر يخضع لمناخ منسطي، أمطاره عاصفية، وبالتالي يخضع الكثير من المناطق لأنجراف مائي، قد يكون في كثير من المناطق كارثياً.

2- يجب أن يتلامم هذا الجهاز والبيئة السورية، من حيث الشدات المطرية.

3- لما كان هذا الجهاز قادراً على تقدير كمية فقد التربة بالانجراف المائي، فيمكن اعتبار كمية فقد مقياساً للثباتية التربة ومقاومتها للانجراف المائي.

4- وبالتالي يمكن استخدام هذا الجهاز لتصنيف الأتربة السورية حسب حساسيتها للانجراف المائي.

5- لما كان القطر العربي السوري يسعى لطرق الري الحديثة، مثل الري بالرش Sprinkler irrigation، فإن ارتفاع المرش ومسافة السقوط، تماثل المطر المصطنع، وبالتالي لابد من دراسة ارتفاع المرش وغزارته، لتكون الطاقة الحركية التخطيطية لقطرات المرش في الحد الأدنى.

6- دعم تواجد المادة العضوية في التربة لأنها تحسن من بناء التربة وبالتالي زيادة ثباتيتها، أي زيادة مقاومتها لفعل ماء المطر التخريبي.

كلمة شكر وامتنان

لا يسعني في نهاية هذا العمل إلا أن أتقدم بالشكر لكل من ساعدني في إتمام هذا البحث من الأخوة والزملاء في معهد بحوث الأراضي والمياه والبيئة في القاهرة والإسكندرية وأخص بالذكر الدكتور هيثم محمد يحيى والدكتور آمون القمح جرجس من معهد بحوث الهندسة الزراعية.

References

1. AFIFI, M.Y., GENEAD, A.Y., ATTA,S.KH. AND ALY, A.A. 1992- **Impact of rainfall erosion and management practices on properties and productivity of Maryut soil**, *Desert Inst. Bull.*, Egypt, 42, No.2 : 73 – 184.
2. BAVER , L.D. 1950- **How serious is soil erosion**. *soil science Society proceedings*, 15:1-5.
3. BUBENZER, G.D., AND B.A. JONES, 1971- **Drop size and impact velocity on the detachment of soils under simulated rainfall**. Transactions of the ASAE (4). 625 – 628.
4. DANNER, E.W., S.A. EL- SWAIFY. 1976- **Erosion of selected Hawaii soils by simulated rainfall**. *Soil Sci. Soc. Am. J.* 45: 241 – 245.
5. ELA, S.D., S.C. GUPTA, AND W.I. RAWLS. 1992- **Macro pore and Surface seal in tractions affecting water infiltration in to soil**. *Soil Sci. Soc. Am. J.* 56: 714 – 721.
6. EL-SHAFEI, Y. 1976- **Soil and water conservation under sprinkler irrigation**. Verlag Paul parey Berlin and Hamburg.
7. ELLISON, W.D. 1947- **Some effects of erosion on infiltration and surface runoff**. Agricultural Engineering. 28 (6): 245 – 248.
8. FARMER, E.E. 1973- **relative detachability of soil particles by simulated rainfall**. *Soil Sci. Am. Proc.*, 37: 629 – 633.
9. F.H.ABDEL-KADER, A.M.ABDEL-HADY, AND A.M. SALEH, 2004- **Integration of terrain, thematic mapper, and soil quality data for surface Hydrology**. Water erosion

- and land suitability modeling. N.W. coast. Egypt.
10. GABRIELS, D. AND MOLDENHAVER, W.C. 1978- **Size distribution of eroded material from simulated rainfall: Effect over a range of texture.** *Soil Sci. Soc. of Am. J.*, 42: 954 – 958.
11. GABER, EL SAYED. 1989- **Dynamics of soil erosion as related to soil forming factors in borundi.** Institute of African Research and Studies. Cairo University.
12. GARY W. FRASIER, MARK WELTZ, AND LAURA WELTZ, 1998- **Technical note: rainfall simulator run off hydrograph analysis.** *Journal of range management*. 51 (5) September.
13. HUDSON N.W. 1987- **Soil and water conservation in semi –arid areas.** FAO and Agriculture Organization of the United Nations , Rome pp 1-20.
14. HUDSON N. W. 1993- **Field measurement of soil erosion and runoff.** FAO, Rome 139 p.
15. JACQULINE BLANQUIES, MISTY SCHARFF, BRENT HALLOCK, 2003- **The design and construction of a rainfall simulator.** Caltrans Storm water program. Sacramento USA.
16. JENNINGS G. D., A.R. JARRETT, AND J.R. HOOVER, 1987- **Simulated rainfall duration and sequencing affect soil loss.** Transactions of the ASAE, 30(1): 158–161 and 165
17. LOCH, R.J., AND OTHERS, 2002- **A multi – Purpose rainfall simulator for field infiltration and erosion studies.** *Australian Journal Soil Research*. 39: 599 – 610.
18. MEGAHAN W. F., 1978- **Erosion processes on steep granitic road fills in central Idaho.** *Soil Sci. Soc. Am. J.*, 42:350-357.
19. MEINTYRE D. S., 1958- **Soil splash and formation of surface crusts by raindrop impact.** *Soil science Society proceedings*, 85(5):261-266.
20. MEYER L. D., HARNON W. C. AND MEDOWELL L. L., 1980- **Sediment sizes eroded from crop row side slopes.** Soil and Water Division of ASAE, 23:891-898.

21. MOHAMMED D. A., 1985- Seal development and infiltration as affected by rainfall kinetic energy. Ph. D. Thesis south Dakota state University.
22. MORGAN R. P. C. 1985- Soil erosion and conservation. Longman Group Limited. HONG KONG. 298p.
23. MORIN J., D. GOLDBERG, AND I. SEGLNER. 1967- A Rainfall simulator with rotating disk. Transactions of the ASAE, 10 (1): 74 – 77 and 89.
24. RAGAB R. A., 1983- The effect of sprinkler intensity and energy of falling drops on soil surface sealing. Soil Science.136(2):117 – 123.
25. SHARMA R. R., AND BISWAS N. R. D., 1972- Readability of soils of Sutlej catchment area in Himachal Pradesh. Indian Journal of Agriculture science 42(2) : 161-169.
26. THOMAS N. P., AND S. A. EL- SWAIFY. 1989- Construction and calibration of a rainfall simulator. *Journal. Ag. Eng. Res.*,34:1 – 9.
27. TRUMAN C. C. AND BRADFORD J. M., 1995- Laboratory determination of inter rill soil readability: Division S-6-Soil , Water Management and conservation. *Soil Sci. Soc. Am. J.* 59:519-526.
28. WILD A., 1993- Soils and the environment an introduction. Cambridge University Press, MSA. PP 233–248.
29. WISCHMEIER W. H., AND J. V. AND MANNERING. 1969- Relation of soil Properties to its readability. *Soil Sci. Am. Proc.* 33:131 – 137.
30. WUKAT AND LIUCHANGMING, 1988- Three instruments used in Rainfall-run off simulation experiments. Hydrological processes vol. 2 151 – 154.

Effect of some soil properties on erosion and run off using simulated rainfall

Dr. M. KH. DERMOCH

Soil science and soil reclamation department, Faculty of Agriculture, Aleppo
university

Abstract

This study was conducted to evaluate the effect of some soil properties (soil texture , soil aggregate ranges) on run off and erodibility of different soil textures under simulated rainfall.

Tow levels of rainfall intensities (47.2 and 80.8) mm/h and three soil aggregate ranges (0.5 – 2 , 2 – 9 , 9 – 20) mm. Beside the fine soil , and five times (3 , 6 , 9 , 12 , 15) minutes were used. soil samples were placed at a pan of (100x30x14) cm , which designed to collect soil losses and runoff water. The soil samples were put on the pan at a slope of (6 , 9 , 12 , 15)% and exposed to a simulated rainfall.

Results showed that soil losses are affected by soil texture and soil type , that is mean the calcareous and clay soils losses soil less than the other soils used in this experiment. and its notice that the loss of soil and runoff water increased with increasing rainfall kinetic energy , and the loss of soil increase with increasing the rainfall intensity and the slope.

In general its notice that the soil , by the action of rainfall, loss a big lot of soil in the first few minutes due to the action of kinetic energy. then the soil loss decrease clearly in the calcareous soil , and became near zero in the clay soil , and that as a result of crust formation. Quantity of soil losses can be used as an index of stability and erosion.

Key word: water erosion, water runoff, rainfall simulator, kinetic energy.